

**Projeto Principal:** “Algoritmo quântico de busca de Grover e de fatoração de Shor: implementação da simulação em computadores clássicos e quânticos”

**Grande Área de conhecimento:** Ciências Exatas e da Terra

**Área de Conhecimento:** Física

**Subárea de Conhecimento:** Física da Matéria Condensada

**Aluno(a):** Daniel Benvenuti

**Orientador:** Francisco Rouxinol

**Instituição:** Instituto de Física Gleb Wataghin, UNICAMP

**Palavras chaves:** Eletrodinâmica Quântica, Computação Quântica e Informação

**Referente:** Primeiro Relatório

## Resumo

**Resumo do projeto original:** Nós apresentamos um projeto de pesquisa focado no desenvolvimento pelo aluno de um conjunto de ferramentas para simular algoritmos quânticos em computadores clássicos e quânticos. Serão tratados e discutidos os conceitos básicos de computação quântica e mecânica quântica, como também a implementação de portas quânticas e o algoritmo de busca de Grover e de fatoração de Shor. Com a implementação deste projeto é esperado que importantes conceitos de quântica, como medida, funções de onda de muitos corpos, e momento angular, sejam aprofundados como também o estudo de importantes tópicos avançados em física e engenharia.

## 1 Introdução

O *objetivo do projeto* era levar o estudante a pensar profundamente em como um computador baseado em lógica quântica funciona. Utilizando um conjunto de ferramentas computacionais o estudante deveria desenvolver em um computador clássico um conjunto de portas lógicas quânticas e simular diversos algoritmos quânticos (i.e. Grover[1], Shor[2], etc) e testar em computadores quânticos disponíveis *online* estes sistemas. *Em longo prazo*, este projeto está preparando o aluno para entender de forma mais clara importantes tópicos modernos de computação quântica, física, e programação em sistemas quânticos - preparando o caminho para o desenvolvimento de projetos mais avançados neste fascinante campo de pesquisa.

Um importante aspecto do projeto foi o desenvolvimento dos vetores de estado e portas lógicas utilizando as bibliotecas Scipy e Sympy existentes na linguagem Python [3], como na experiência de aplicar e desenvolver conceitos de física quântica numa das suas aplicações práticas, *a computação quântica*.

Durante os primeiros 3 bimestres, trabalhamos na preparação das diversas portas quânticas necessárias para execução dos algoritmos estudados neste projeto. Para escrever os programas utilizamos ambiente de desenvolvimento interativo Jupyter [4] com a linguagem de programação Python [3]. Foram desenvolvidos os algoritmos para a *inicialização do sistema*, a *operação de portas quânticas*, e a *medição dos estado*.

Nos 3 bimestres finais, trabalhamos na implementação da execução dos algoritmos e na aprendizagem da utilização dos computadores quânticos da IBM [5]. Terminamos o trabalho comparando os resultados da simulação dos algoritmos quânticos rodados em computadores clássico com os resultados das simulações dos algoritmos em computadores quânticos da IBM.

## 2 Atividades Principais

De forma resumida, durante o projeto, trabalhamos nas quatro etapas do cronograma. Inicialmente desenvolvemos os registradores de N-qubits. Cada registrador guardava a informação do estado composto por 3 sistemas de dois níveis (qubits), descrito por um único estado quântico conjunto  $|\psi\rangle$ . Utilizando estes vetores, preparamos algoritmos para preparar o sistema de interesse no estado de desejado.

Na segunda etapa, desenvolvemos funções que simulam uma porta quântica (análogo a uma porta lógica), necessárias para operar os qubits. Utilizando os elementos dos vetores de estado e a portas lógicas, a probabilidade de medir um determinado valor pode ser determinado, simulando-se uma medida no sistema quântico.

Com estas funções e algoritmos programados, foram preparados os algoritmos de Groover de busca e Shor de fatoração de números inteiros. Ambos funcionaram como esperado. O de Groover amplificando a probabilidade do estado buscado até ele se destacar entre os outros. E o de Shor obtendo como saída o período de uma função do algoritmo que é o passo do algoritmo para fatorar o número realizado no computador quântico.

Na última implementamos os algoritmos Groover de busca e Shor de fatoração de números inteiros no computador quântico da IBM e comparamos com os resultados obtidos em nosso programa.

Nas próximas seções descrevemos em mais detalhes as etapas desenvolvidas neste período. Também fornecemos o código utilizando nesta etapa na plataforma GitHub no endereço: [https://github.com/Danielgb23/ic\\_comp\\_quantica](https://github.com/Danielgb23/ic_comp_quantica)

### 2.1 Registrador Quântico

A primeira parte do projeto é construir o simulador. Para simular o estado de  $N$  qubits precisamos de um vetor de  $2^N$  elementos. Por exemplo, um vetor de 3 qubits com 8 elementos:

$$\psi = [0, 0, 0, 0, 0, 0, 0, 0]$$

Cada estado nesse vetor representa uma combinação das medidas possíveis dos qubits. O primeiro estado é  $|000\rangle$  o segundo é  $|001\rangle$ , o terceiro é  $|010\rangle$  e assim por diante até o oitavo,  $|111\rangle$ .

Em seguida precisamos poder medir esse estado quântico. Uma medida é representada por uma escolha aleatória do computador levando como pesos probabilísticos os elementos do vetor de estado com maior módulo complexo ao quadrado.

$$[0, 1, 0, 0, 0, 0, 0, 0]$$

Por exemplo, o segundo elemento do vetor acima tem 100% de chance de ser medida.

$$[0.5, 0.5, 0.5, 0.5, 0, 0, 0, 0]$$

Já neste caso, temos  $|0.5|^2 = 1/4$  de chance de ser medido no primeiro, segundo, terceiro ou quarto estados.

## 2.2 Portas quânticas

### 2.2.1 Porta de Hadamard

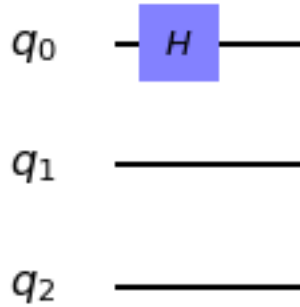


Figura 1: Porta de Hadamard

Uma das portas quânticas mais importantes é a *Porta de Hadamard*,  $H$ . Ela é extremamente interessante, pois coloca um qubit em uma superposição de dois estados. Por exemplo, o código:

```
1 qubit=[1,0] # estado inicial do qubit
2 qubit=hadamard(qubit, 1, 1) # hadamard no primeiro qubit
3 print(qubit)

retorna
```

$$[0.707106781186547, 0.707106781186547] = [1/\sqrt{2}, 1/\sqrt{2}] = |\psi\rangle = \frac{1}{\sqrt{2}} (|0\rangle + |1\rangle)$$

### 2.2.2 Porta de Fase

Outra importante porta é a *Porta de Fase*,  $S$ . Ela muda a fase complexa do elemento do vetor que descreve o qubit.

$$S = \begin{vmatrix} 1 & 0 \\ 0 & e^{i\theta} \end{vmatrix} \quad (1)$$

Então se usarmos uma dessas portas:

```
1 qubit=[0,1] # estado inicial do qubit
2 qubit=muda_fase(qubit, 1, math.pi/2, 1)
3 print(qubit)
4 medir_n(qubit, 100, 1)
```

obtemos:

$$|\psi\rangle = [0, 0 + 1.0i]$$

Que tem um número imaginário puro no segundo elemento do vetor, devido a mudança de fase de  $\pi/2$ .

### 2.2.3 Porta CNOT

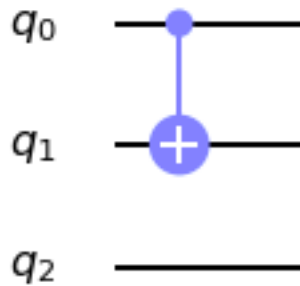


Figura 2: Porta CNOT

Portões CNOT são portas quânticas NOT (ou NÃO) controladas e funcionam da seguinte maneira: Há um qubit controlador e um qubit que sofre a operação NOT. Se e somente se o qubit controlador é  $|1\rangle$  que o outro qubit é invertido de  $|1\rangle$  para  $|0\rangle$  ou de  $|0\rangle$  para  $|1\rangle$ . Se o controlador for  $|0\rangle$  o controlado mantém o seu estado. O qubit controlador não é alterado. Com essa porta podemos fazer o estado de emaranhamento quântico:

```
1 Psi=[0]*8 # estado inicial
2
3 seta_base(Psi,0)
4 #hadamard no segundo qubit para coloca-lo numa superposição
5 Psi=hadamard(Psi, 2, 3)
6
7 #CNOT para emaranhar os qubits
8 Psi=cnot3(Psi, 3)
9
10 print(Psi)
11 medir_n(Psi, 1000, 3)
```

$$|\psi\rangle = [0.71, 0, 0, 0.71, 0, 0, 0, 0]$$

Obteremos uma superposição entre os dois estados  $|000\rangle$  e  $|011\rangle$ . Logo, há uma correlação na medida do segundo e terceiro qubit. Se um é medido zero (1) o outro também é, se um é medido 1 o outro também será.

## 2.3 Algoritmo de Groover

O algoritmo de Groover é um algoritmo de busca. Dado um vetor de possíveis respostas, procuramos neste vetor, um valor específico, que indica qual é a resposta correta. Com uma algoritmo normal de varredura em um computador clássico no pior caso temos que verificar todos os  $n$  elementos. Já no algoritmo de Groover precisamos de apenas  $\sqrt{n}$  buscas.

Apesar disso a nossa lista precisa ser armazenada num oráculo quântico que é um operador que será utilizado nos nossos qubits. O que é o mais difícil.

O algoritmo de Groover funciona usando uma técnica chamada amplificação de amplitude. A fase do elemento do vetor que é a resposta procurado é invertida, e em seguida, com o operador de difusão de Groover é amplificada. Isso é

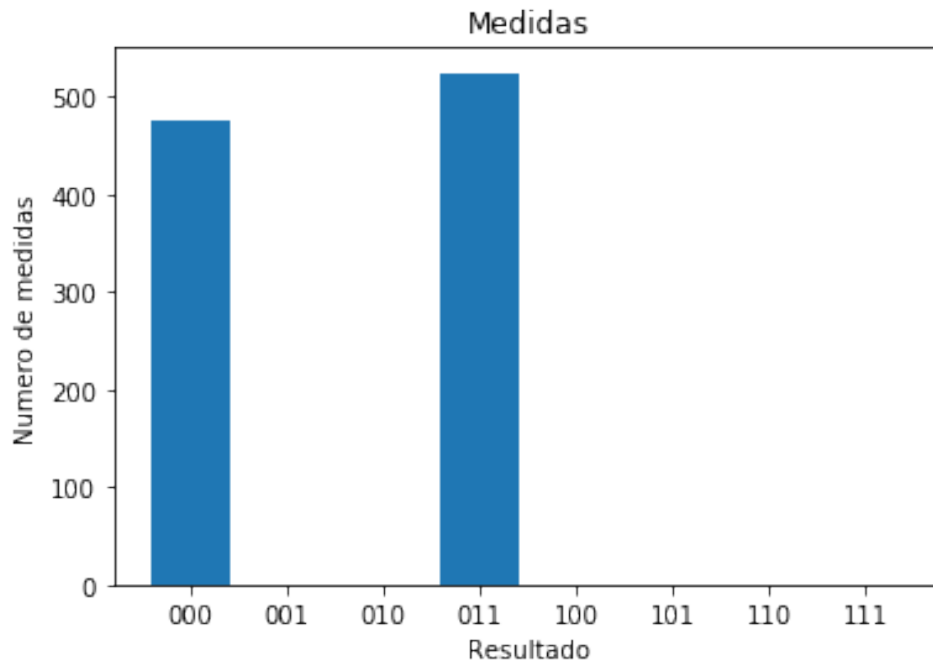


Figura 3: Histograma com valores obtidos para 1000 medidas de uma Porta CNOT

repetido um número ótimo de vezes, o que deixa a resposta correta com uma maior probabilidade de ser medida.

Aqui temos uma execução do código:

```

1 Psi=[1,0,0,0,0,0,0,0]
2
3 count=1
4 while count <= 3:    #passa o loop pelo vetor psi
5     Psi=hadamard(Psi, count, 3) #hadamard em todos os qubits
6     count = count + 1
7
8 resposta=6
9
10 #blocos do operador de difusao de groover
11 Psi=bloco_groover(Psi, 3, resposta)
12 Psi=bloco_groover(Psi, 3, resposta)
13
14 print(Psi)
15 medir_n(Psi, 1000, 3)

```

O vetor resposta encontrado é:

$$|\psi\rangle = [-0.08, -0.08, -0.08, -0.08, -0.08, -0.08, 0.97, -0.08]$$

Onde a amplitude do 7 elemento '110' (6 já que se começa do 0) é 0.97 enquanto a dos outros é de apenas  $-0.08$ . É importante lembrar que a probabilidade medida durante o experimento será  $\psi^2$

Em seguida avaliamos o desempenho da simulação do algoritmo de Groover no meu computador. Abaixo os resultados:

Depois o algoritmo de Groover foi executado utilizando-se matrizes esparsas. Que são muito úteis nessas simulações, já que as matrizes dos operadores têm muitos zeros.

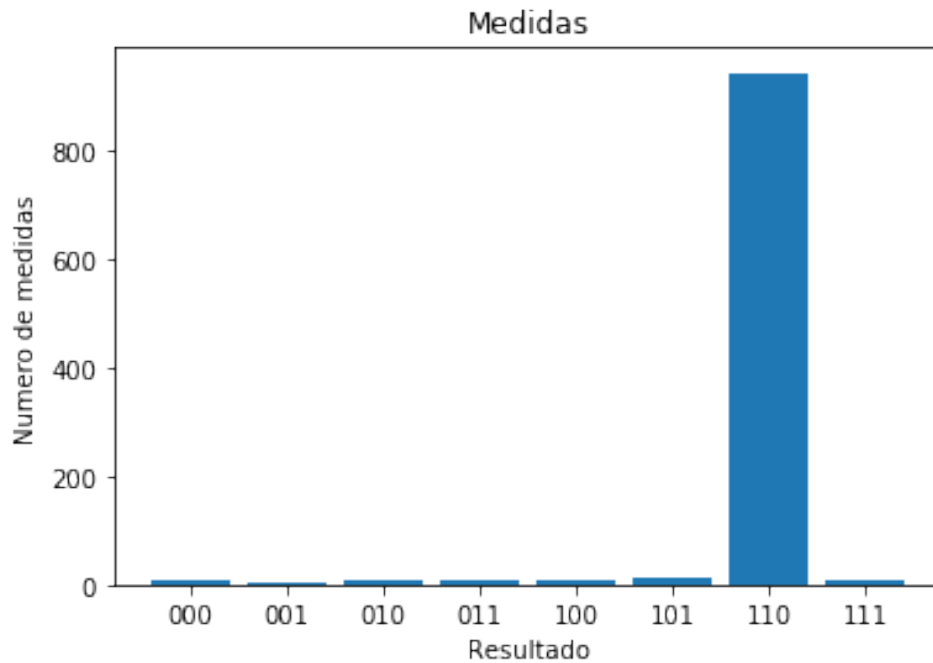


Figura 4: Histograma com valores obtidos para 1000 medidas para o algoritmo de Groover

Qubits	tempo
1	1.20s
2	1.15s
3	1.36s
4	3.51s
5	29.33s
6	353.69s

Tabela 1: Tempos de simulação para diferentes números de qubits

```

1 qubits=input()
2 resposta=1
3
4 Psi=[0]*2**qubits
5 Psi[0]=1
6
7 count=1
8 while count <= qubits:    #passa o loop pelo vetor psi
9     Psi=sp_hadamard(Psi, count, qubits) #hadamard em todos os qubits
10    count = count + 1
11
12 #blocos do operador de difusao de groover
13 count=1
14 #passa o loop pelo vetor psi
15 while count <= round(math.pi/4*math.sqrt(2**qubits)):
16     Psi=sp_bloco_groover(Psi, qubits, resposta)
17     count = count + 1
18 print(Psi)
19 print("done")

```

Qubits	tempo
1	0.86s
2	0.92s
3	0.91s
4	0.97s
5	1.04s
6	1.16s
7	1.42s
8	2.16s
9	5.06s
10	19.40s
11	105.38s
12	626.17s
13	353.69s

Tabela 2: Tempos de simulação para diferentes números de qubits utilizando matrizes esparsas

Nota-se a grande melhoria no desempenho e como é possível utilizar um número muito maior de qubits com o mesmo computador.

## 2.4 Algoritmo de Shor

O algoritmo de Shor é um algoritmo de fatoração de números inteiros. Um dos seus passos é acelerado se executado em um computador quântico. Abaixo os passos do algoritmo:

Dado um número  $C$  que se deseja encontrar os fatores:

1. Cheque se  $C$  é ímpar e não é potência de algum inteiro pequeno. Se for um desses encontramos um fator de  $C$  e terminamos.
2. Pegue qualquer inteiro no intervalo  $1 < a < C$ .
3. Encontre o  $\text{mdc}(a, C)$  (maior divisor comum). Se o mdc for maior que 1 por sorte, encontramos já um fator de  $C$  e terminamos.
4. Encontre o menor inteiro  $p$  tal que  $a^p \equiv 1 \pmod{C}$ . A expressão  $p \equiv q \pmod{C}$  quer dizer a congruência modular. Ou seja  $p - q$  é um inteiro múltiplo de  $C$ . Isso pode ser escrito também como  $p \pmod{C} = q \pmod{C}$ .
5. Se  $p$  é ímpar ou se  $p$  é par e  $a^{p/2} \equiv -1 \pmod{C}$  volte para 2 e escolha um novo  $a$ .
6. Os números  $P_{\pm} = \text{mdc}(a^{p/2} \pm 1, C)$  são fatores não triviais de  $C$ .

O computador quântico é responsável pelo 4º passo desse algoritmo. O resto dos passos como encontrar o mínimo divisor comum (mdc) são feitos rapidamente em um computador clássico.

Esse passo se chama encontrar o período pois  $f(x) = a^x \pmod{C}$  é uma função periódica com período  $p$ . Dividimos o registrador quântico em duas partes: o registrador  $x$  com  $L$  qubits iniciado em  $|0\dots 0\rangle$  e o  $f$  com  $M$  qubits iniciado em  $|0\dots 01\rangle$ :

O quarto passo:

1. Aplique portas de Hadamard em todos os  $L$  qubits do registrador  $x$ , representado por  $H^{\otimes L}$ . Isso coloca o registrador  $x$  numa superposição de todos os  $2^L$  estados possíveis

2. Multiplique o registrador  $f$  por  $a^x \bmod C$  fazendo com que fique com o valor de  $f(x)$ .
3. Meça o registrador  $f$  (esse passo é opcional)
4. Faça uma transformada de Fourier quântica inversa (IQFT em inglês) no registrador  $x$ . A IQFT permite encontrar o período da função.
5. Meça a saída  $\bar{x}$  de do IQFT (lembrando que temos que ler a saída do IQFT na direção contrária). Shor provou que  $\bar{x}/2^L$  é igual a aproximadamente  $s/p$  onde  $s$  é um inteiro qualquer. Usamos isso para encontrar  $p$ . Por exemplo  $\bar{x}/2^L = 0.32 \cong 1/3 = 2/6 = 3/9$  então  $p$  é 3, 6, 9, ... Checamos em seguida esses valores para ver se  $a^p \equiv 1 \bmod C$ .

```

1  # Início do programa
2  a=2
3  #psi começa em |0000001>
4  qubits=7
5  psi=[0]*(2**qubits)
6  seta_base(psi,1)
7
8  #coloca em superposicao os bits de L
9  psi=sp_hadamard(psi, 3, qubits) #hadamard em l0
10 psi=sp_hadamard(psi, 2, qubits) #hadamard em l1
11 psi=sp_hadamard(psi, 1, qubits) #hadamard em l2
12 print "qubits L em superposição"
13 print psi
14
15 #parte de f de x
16 #multiplica por a se l0=1
17 psi=shor_fx(psi, 1, a, 15, 3, 4)
18 #multiplica por a^2 se l1=1
19 psi=shor_fx(psi, 2, a**2, 15, 3, 4)
20 #multiplica por a^3 se l2=1
21 psi=shor_fx(psi, 3, a**4, 15, 3, 4)
22 # terminado e multiplicando por a^(l2l1l0)
23
24 print "-----"
25 print "matrizes de permutação aplicadas para encontrar f(x)"
26 print psi
27
28 #IQFT transformada de fourier quantica inversa
29 psi=sp_hadamard(psi, 1, qubits) #hadamard em l2
30
31 #mudanca de fase de pi/2 controlada por l2 em l1
32 psi=sp_Cfase(psi, 2, 1, qubits, math.pi/2)
33
34 #mudanca de fase de pi/4 controlada por l2 em l0
35 psi=sp_Cfase(psi, 3, 1, qubits, math.pi/4)
36
37 psi=sp_hadamard(psi, 2, qubits) #hadamard em l1
38
39 #mudanca de fase de pi/2 controlada por l2 em l1
40 psi=sp_Cfase(psi, 3, 2, qubits, math.pi/2)
41
42 psi=sp_hadamard(psi, 3, qubits) #hadamard em l0

```



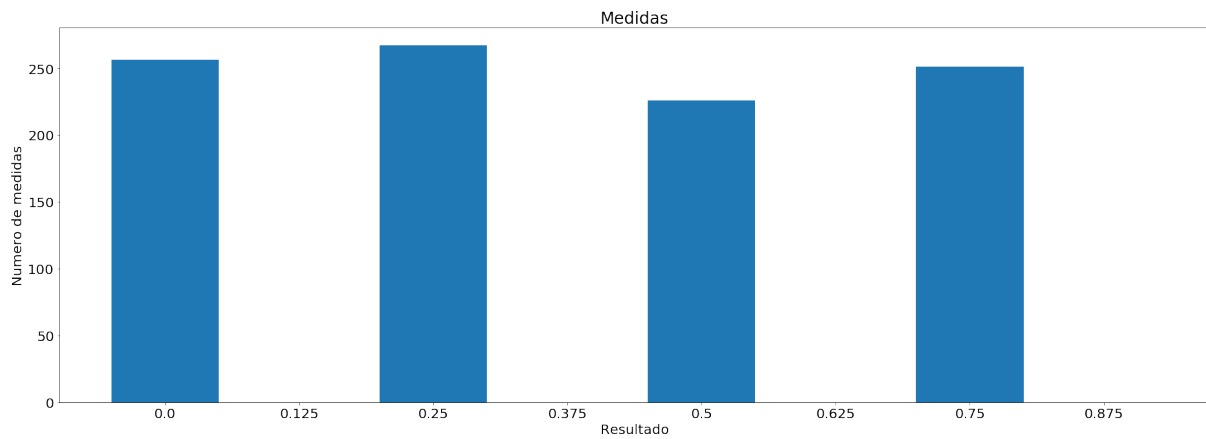


Figura 5: Histograma com valores obtidos para a aplicação do algoritmo de Shor com 7 qubits fatorando 15 com  $a=2$

```

43
44 print "-----"
45 print "transformada de fourier quântica inversa aplicada"
46 print "para encontrar o período da função"
47 print psi
48
49 medir_xbarra_shor(Psi, 1000, 3, 4)

```

Agora medimos o resultado no registrador obtendo vários valores para  $\bar{x}/2^L$  onde  $\bar{x}$  é o valor do registrador  $x$  após a aplicação do IQFT com os bits invertidos. Esses valores são a frequência da função e seus harmônicos  $s\omega$  onde  $s$  é um inteiro. Ou seja obtemos como medida um valor  $s/p$  para a medida de  $\bar{x}/2^L$  onde  $s$  é um inteiro qualquer e  $p$  é o valor procurado do período para o algoritmo de Shor. Como obtemos quatro valores principais podemos concluir que  $p=4$ . Na prática, podemos contar o número de picos principais na medidas de saída. 4 picos equivale a um período de 4 por exemplo. Também podemos usar frações parciais para aproximar o valor desejado a partir das resultados da saída do computador quântico.

Também fizemos simulações do algoritmo de Shor para um número  $N$  arbitrário de qubits:

```

1  # Inicio do programa
2  a=10
3  L=6
4  M=6
5  C=21
6
7  #psi começa em |00 ... 01>
8  qubits=L+M
9  psi=[0]*(2**qubits)
10 seta_base(psi,1)
11
12
13 #coloca em superposicao os bits de L
14 j=1
15 while j<=L :
16     psi=sp_hadamard(psi, j, qubits) #hadamard
17     print "had", j
18     j = j + 1

```

```

19
20
21 #parte de f de x
22 j=1
23 while j<=L :
24     #multiplica por a^3 se l2=1 terminado e multiplicando por a^(l2l1l0)
25     psi=shor_fx(psi, j, a**(2**(j-1)), C, L, M)
26     print "fx", j
27     j = j + 1
28
29
30 #IQFT transformada de fourier quantica inversa
31 i=1
32
33 while i <= L:
34
35     psi=sp_hadamard(psi, i, qubits) #hadamard em l2
36     #print "hadamard", i
37     j=1
38     while j <= L-i:
39         #mudanca de fase de pi/2 controlada por l2 em l1
40         psi=sp_Cfase(psi, i+j, i, qubits, math.pi/(2**j))
41         #print i+j, "controls pi/",2**j, "on", i
42         j = j + 1
43     print "IQFT", i
44     i = i + 1
45
46
47 print 'terminado'
48
49 #plota
50 Psi=psi.toarray()[0]
51 medir_xbarra_shor(Psi, 1000, L, M)

```

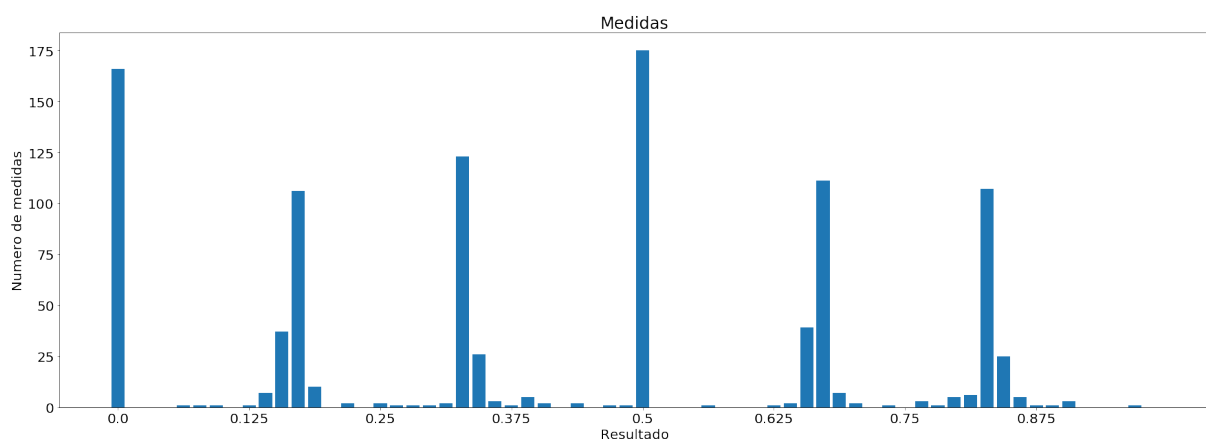


Figura 6: Histograma com valores obtidos para a aplicação do algoritmo de Shor com 12 qubits fatorando 21 com  $a=10$

## 2.5 Implementação no computador Quântico

Após a simulação do qubits foram utilizados os computadores quânticos disponibilizados pela IBM na IBM Quantum experience [5]. Primeiro serão introduzidas novas portas quânticas que foram utilizadas e depois serão demonstrados os Algoritmos de Groover e Shor executados nessas máquinas. A linguagem utilizada para programar essas máquinas foi o Qiskit que é baseada em python. E que apresenta ferramentas para o desenvolvimento de circuitos para computadores quânticos e gera o QASM que é o Assembly para os computadores quânticos da IBM.

### 2.5.1 Porta NOT

A porta NOT é simples. Ela inverte as amplitudes dos valores  $|0\rangle$  e  $|1\rangle$  de um qubit.  $X|\Psi\rangle = X(a|0\rangle + b|1\rangle) = b|0\rangle + a|1\rangle$

$$X = \begin{bmatrix} 0 & 1 \\ 1 & 0 \end{bmatrix} \quad (2)$$

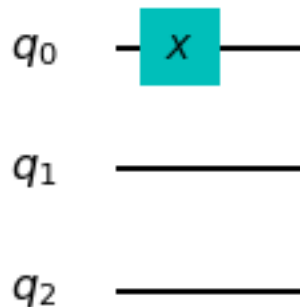


Figura 7: Porta NOT

Para usar uma porta no Qiskit. Declaramos um circuito e inserimos uma porta como a de NOT. A figura da porta é gerada pelo caderno Qiskit de Jupyter.

```
1 qc= QuantumCircuit(3)
2 qc.x(0)
3 qc.draw()
```

### 2.5.2 Porta de Toffoli

A porta de Toffoli é uma porta CNOT controlada por dois qubits.

### 2.5.3 Porta SWAP e porta de Fredkin

A porta SWAP troca dois qubits de lugar a de Fredkin é uma porta de SWAP controlada(CSWAP).

A Porta de SWAP é construída usando três portas CNOT alternadas.

A porta de Fredkin usa uma porta de Toffoli no lugar da CNOT do meio. Note que duas portas CNOT consecutivas reverterem uma a outra e que uma porta de Toffoli com a sua entrada que não será trocada em 0 é o mesmo que se não houvesse nenhuma porta.

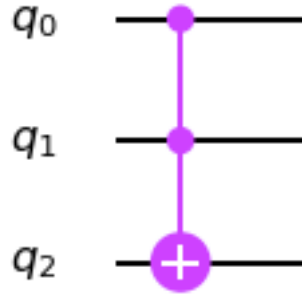


Figura 8: Porta de Toffoli

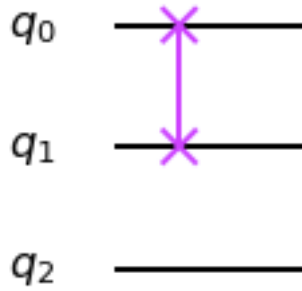


Figura 9: Porta SWAP

#### 2.5.4 Portas de mudança de fase e porta Y

Embora no computador da IBM haja como usar uma porta de mudança de fase com valor de fase arbitrário. Usaremos as portas já configuradas com ângulos específicos.

$$T = \begin{bmatrix} 1 & 0 \\ 0 & e^{i\pi/4} \end{bmatrix} \quad (3)$$

$$S = T^2, \theta = \pi/2$$

$$Z = T^4, \theta = \pi$$

$$S^\dagger = T^6, \theta = -\pi/2$$

$$T^\dagger = T^7, \theta = -\pi/4$$

Assim como a porta Y que é uma combinação da porta X com a Z:

$$Y = XZ = \begin{bmatrix} 0 & -i \\ i & 0 \end{bmatrix} \quad (4)$$

#### 2.5.5 Algoritmo de Groover

Para executar o algoritmo de Groover na máquina da IBM temos duas limitações principais. A primeira é que o algoritmo fica longo a medida que aumentamos o número de qubits. Isso porque precisamos repetir o oráculo e bloco de difusão de Groover que são pedaços do circuito  $\pi/4 \sqrt{2^N}$  vezes arredondado onde N é o número de qubits. O que já deixa o circuito longo para a máquina da IBM se usarmos 3 qubits. E dependendo da máquina que utilizarmos como a IBM Q 14 Melbourne que tem mais qubits e portanto é mais suscetível a ruídos. Já será mais difícil distinguir a solução.

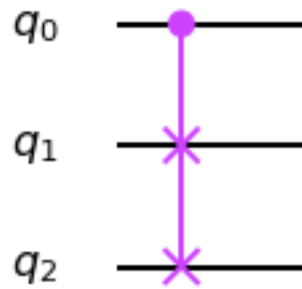


Figura 10: Porta de Fredkin

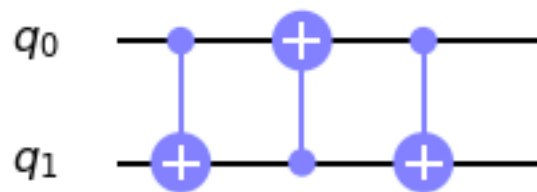


Figura 11: Porta SWAP a partir de portas CNOT

A segunda limitação são as portas que podemos utilizar. Numa simulação com matrizes fica simples fazer uma porta que inverte a fase de apenas um elemento da base mas agora temos que implementar isso com outras portas quânticas fundamentais. Felizmente para três qubits podemos usar uma porta Z controlada por dois qubits que pode ser feita com uma porta de Toffoli e duas de Hadamard nas entradas do qubit que será negado. Essa porta inverte a fase do componente  $|111\rangle$  apenas. Para usar em outros elementos podemos colocar portas NOT na entrada e saída dessa porta para que mude a fase de outra combinação de qubits.

Código do algoritmo de Groover em qiskit:

```

1  #Hadamards em todos os qubits
2  hadamards=QuantumCircuit(3)
3  #Inicializa todos os qubits em superposicao
4  hadamards.h(0)
5  hadamards.h(1)
6  hadamards.h(2)
7  hadamards.draw()
8
9  #-----
10
11 resposta=5
12
13 #oraculo quantico #####
14 oracle=QuantumCircuit(3)
15 #coloca portas X antes dos bits 0 da resposta
16 if(resposta % 2 == 0):
17     oracle.x(0)
18 if((resposta % 4) // 2 == 0):

```

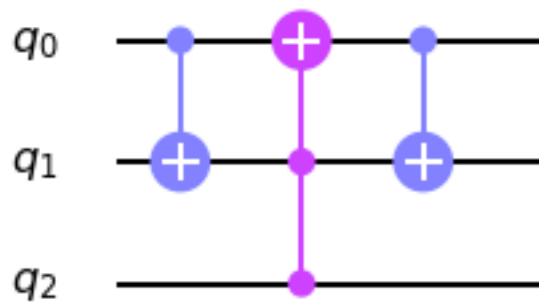


Figura 12: Porta de Fredkin a partir de portas CNOT e de Toffoli

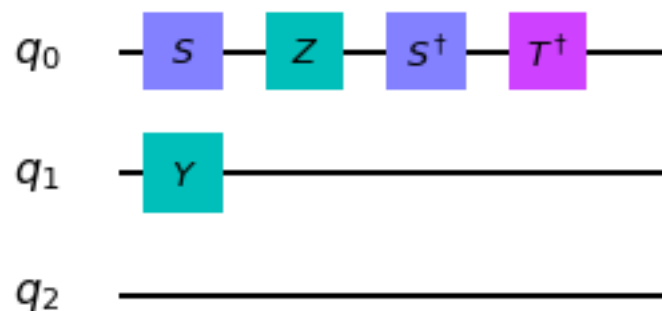


Figura 13: Portas de mudança de fase e porta Y

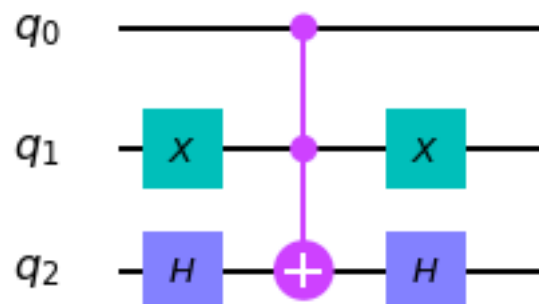


Figura 14: Oráculo quântico para o valor  $5 = |101\rangle$ . *Notenas portas X no qubit que 0*

```

19     oracle.x(1)
20     if( (resposta % 8) //4 == 0):
21         oracle.x(2)
22
23     #porta Z em 2 controlada por 0 e 1
24     oracle.h(2)
25     oracle.ccx(0,1,2)
26     oracle.h(2)
27
28     #coloca portas X depois dos bits 0 da resposta

```

```

29 if(resposta % 2 == 0):
30     oracle.x(0)
31 if((resposta % 4) //2 == 0):
32     oracle.x(1)
33 if( (resposta % 8) //4 == 0):
34     oracle.x(2)
35 oracle.draw()
36 #-----
37 #Operador de difusão de groover
38 difusao=QuantumCircuit(3)
39 #hadamards
40 difusao=difusao+hadamards
41
42 #portas x para o estado |000>
43 difusao.x(0)
44 difusao.x(1)
45 difusao.x(2)
46
47 #porta Z controlada
48 difusao.h(2)
49 difusao.ccx(0,1,2)
50 difusao.h(2)
51
52 difusao.x(0)
53 difusao.x(1)
54 difusao.x(2)
55
56 #hadamards
57 difusao=difusao+hadamards
58
59 difusao.draw()
60
61 #-----
62 #parte de medida do circuito
63 mdir=QuantumCircuit(3,3)
64 grvc=QuantumCircuit(3)
65 mdir.measure(range(3),range(3)) #circuito para a medicao dos qubits
66
67 #oraculo e o operador de difusao sao repetidos 2 vezes
68 grvc=hadamards+oracle+difusao+oracle+difusao+mdir
69
70 grvc.draw()

```

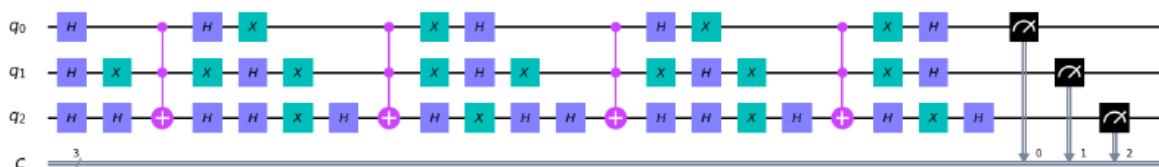


Figura 15: Circuito de Groover para três qubits

O programa foi executado duas vezes. A primeira foi uma simulação. Logo

apresenta o resultado sem ruídos. Código para simular o circuito:

```
1 #simulacao de um computador quantico
2 backend_sim = Aer.get_backend('qasm_simulator')
3 job_sim = execute(grvc, backend_sim, shots=1024)
4 result_sim = job_sim.result()
5 plot_histogram(result_sim.get_counts(grvc))
```

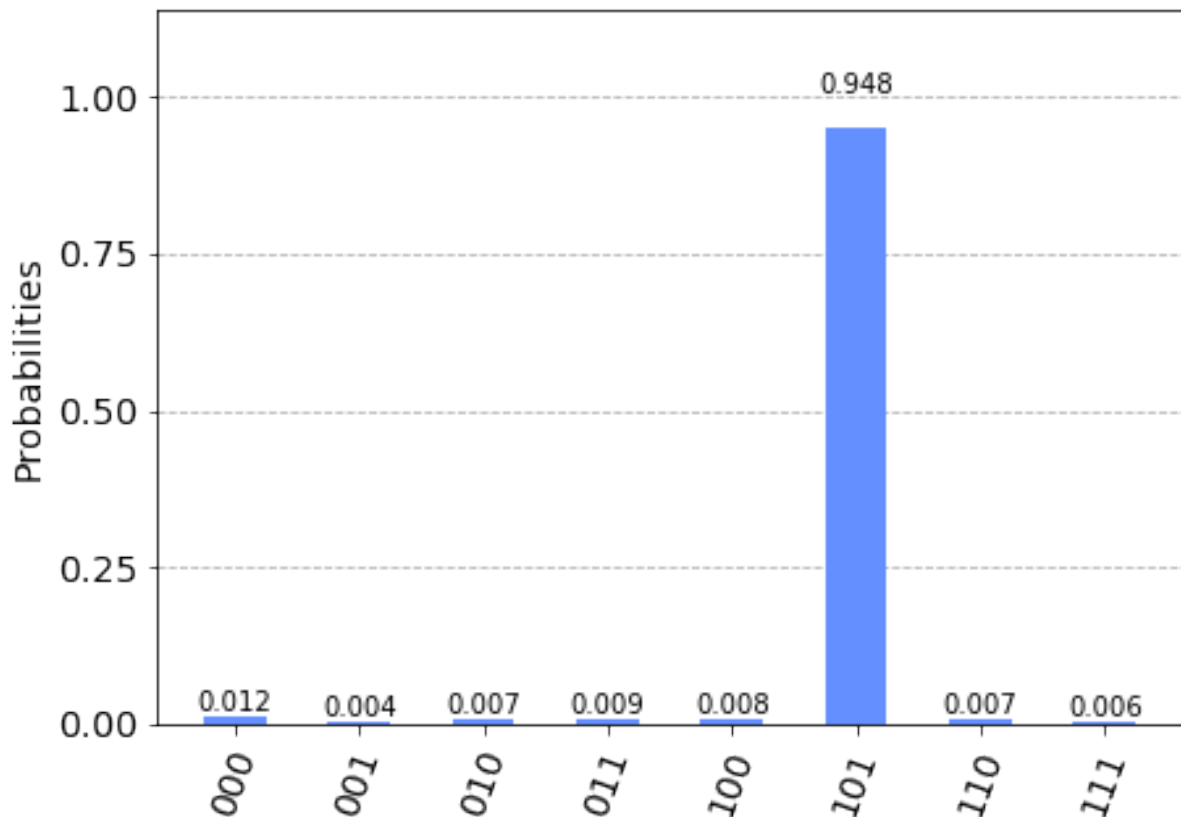


Figura 16: Resultado da simulação de QASM num computador clássico da IBM

A segunda é a execução no computador quântico. Podemos notar como aparecem mais das outras medidas que não são o resultado:

Código para executar o circuito na máquina quântica da IBM:

```
1 #executa o circuito em um computador quantico real
2 from qiskit.tools.monitor import job_monitor
3 backend = provider.get_backend('ibmqx2')
4
5 job = execute(grvc, backend=backend, shots=4096)
6 job_monitor(job)
7
8 #####
9 resultado_comp = job.result()
10 plot_histogram(resultado_comp.get_counts(grvc))
```

## 2.5.6 Algoritmo de Shor

No algoritmo de Shor a maior limitação para a implementação em um computador quântico real é a porta quântica que faz a multiplicação por  $a^x \bmod C$ . Já



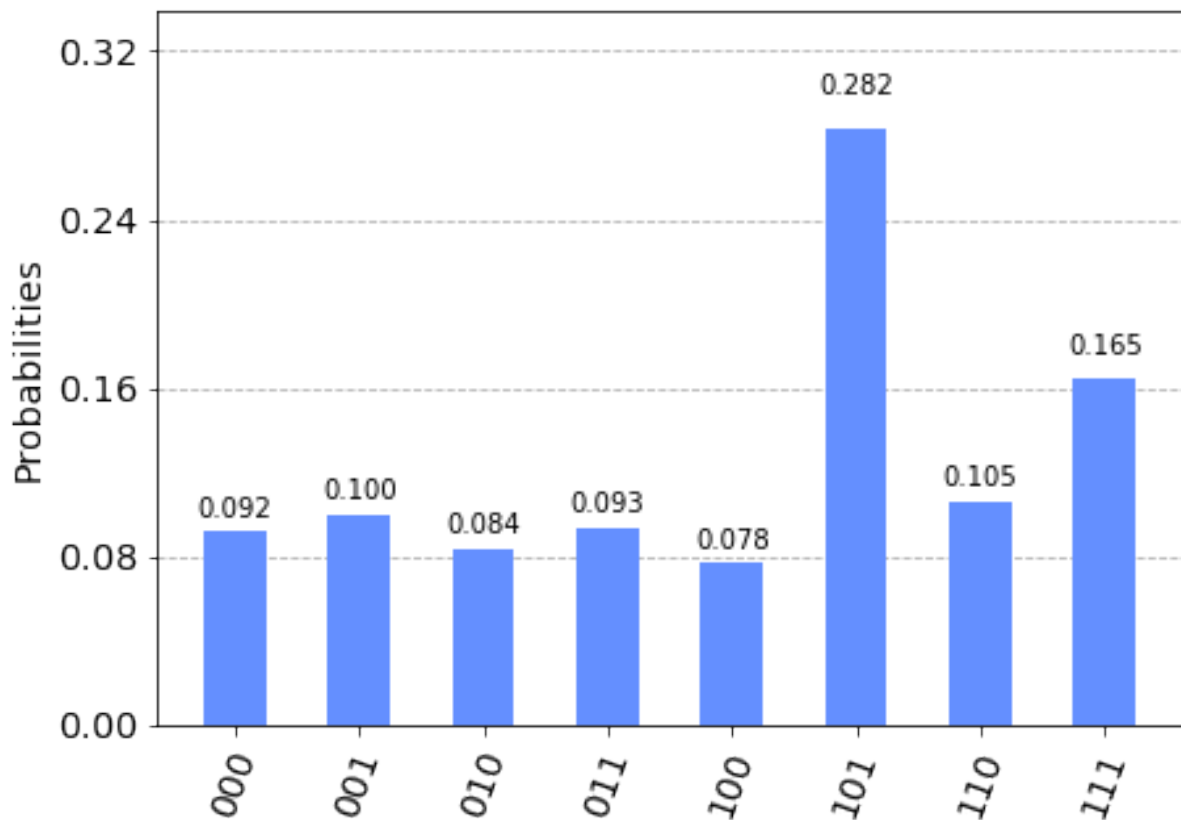


Figura 17: Resultado do programa com algoritmo de Grover rodado no computador quântico ibmqx2

que temos que implementá-la através de outras portas mais fundamentais e não diretamente através da matriz como na simulação. A transformada de Fourier Quântica é simples de implementar assim como a superposição inicial.

Primeiro implementei um circuito mais simples com 5 qubits usando  $C = 15$  e  $a = 4$  que têm um período de apenas 2 o que permite encolher bastante o circuito.

Para fazer o multiplicador por  $a^x \bmod 15 = 4^x \bmod 15$ . Dividimos ele em duas partes:  $4^1 \bmod 15$  controlado pelo qubit de  $x$  menos significativo e  $4^2 \bmod 15$  controlado pelo mais significativo. Assim se o qubit de  $x$  menos significativo for 1 multiplicamos  $f$  por  $4 \bmod 15$  e o mesmo para o mais. Obtendo assim  $4^{x_0+x_1} \bmod 15$ . Como  $4^2 \bmod 15 = 16 \bmod 15 = 1$  precisamos fazer apenas o do bit menos significativo. Para multiplicar o número 1 por 4 sempre que o qubit menos significativo de  $x$  for 1 basta usar uma porta CNOT que zera a porta com 1 do dígito menos significativo com peso 1 e uma que seta o qubit com peso 4.

```

1 hadamards=QuantumCircuit(5)
2 #Inicializa os qubits do registradores de L em superposicao
3 hadamards.h(3)
4 hadamards.h(4)
5 hadamards.draw()
6 #####
7 #multiplicador
8 mult=QuantumCircuit(5)
9 mult.x(0)#inicializa o registrador f em 1
10
11 mult.cx(3,2)#seta q2(f2) se q3(x0) for um
12 mult.cx(3,0)#zera q0(f0) se q3(x0) for um

```

```

13 mult.draw()
14 #####
15 #transformada de Fourier quantica
16 from math import pi
17 iqft=QuantumCircuit(5)
18 iqft.h(4)
19 iqft.crz(pi/2, 4, 3)
20 iqft.h(3)
21 iqft.draw()
22
23 #####
24 #parte de medida
25
26 mdir=QuantumCircuit(5,2)
27 shor=QuantumCircuit(5)
28 mdir.measure([3, 4],[1,0]) #circuito para a medicao dos qubits
29
30 #oraculo e o operador de difusao sao repetidos 2 vezes
31 shor=hadamards+mult+iqft+mdir
32
33 shor.draw()

```

Para rodar o circuito usamos o mesmo código do algoritmo de Groover só que agora no computador quântico **ibmq 16 melbourne**.

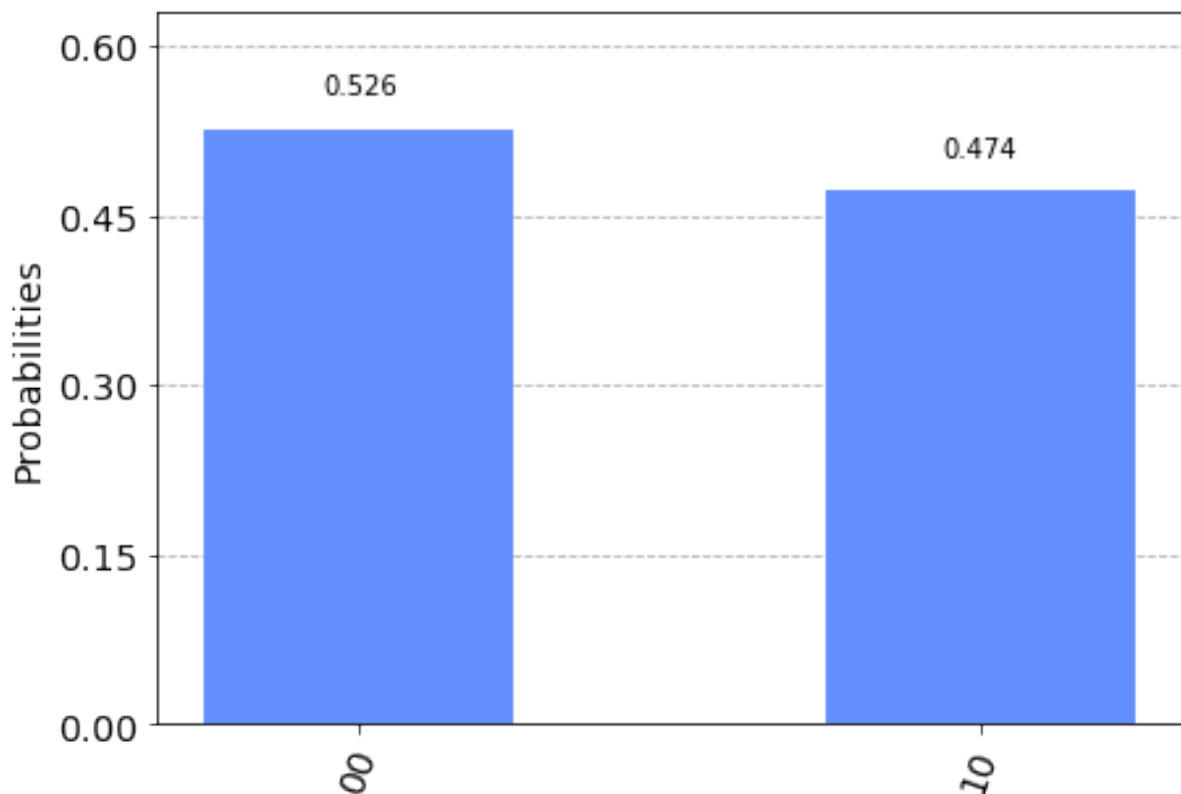


Figura 18: Resultado da simulação do Algoritmo de Shor com C=15 a=4

Agora executamos o algoritmo com a=2 o que vai requerer 6 qubits. O novo multiplicador é assim:  $a^x \bmod 15 = 2^x \bmod 15$ . Dividimos ele em 3 partes:  $2^1 \bmod 15$  controlado pelo qubit de  $x$  menos significativo,  $2^2 \bmod 15$  controlado pelo qubit do

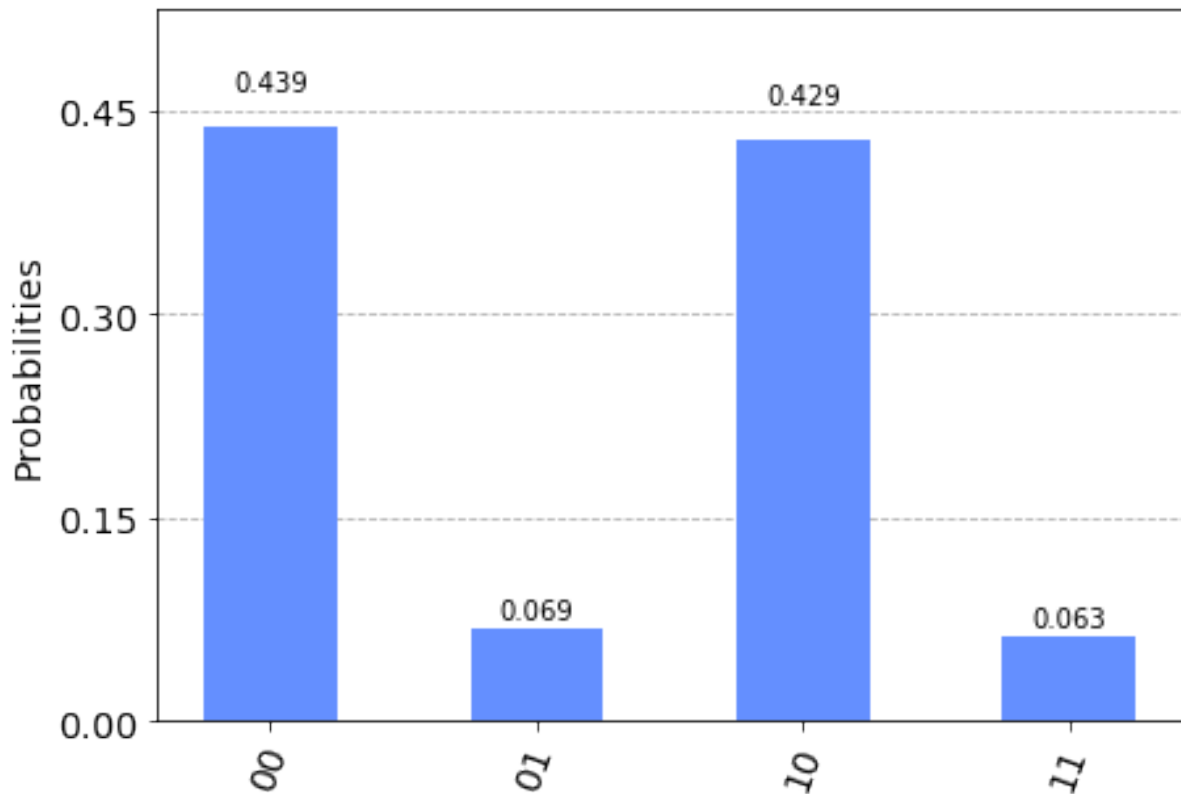


Figura 19: Resultado da execução do Algoritmo de Shor com  $C=15$   $a=4$  no **ibmq 16 melbourne**

meio e  $2^4 \bmod 15$  controlado pelo mais significativo. Assim se o qubit de  $x$  menos significativo for 1 multiplicamos  $f$  por  $2 \bmod 15$  e o mesmo para os outros. Obtendo assim  $4^{x_0+x_1+x_2} \bmod 15$ . Como  $2^4 \bmod 15 = 16 \bmod 15 = 1$  precisamos fazer apenas o do meio e o do qubit menos significativo. Para multiplicar um número por 2 módulo 15 vamos usar três portas de Fredkin. Para números binários, a multiplicação por dois é um deslocamento para a esquerda. Como fazemos o módulo 15 do valor também note que os números dão a volta pela esquerda de volta a direita, como uma rotação. Para fazer esse deslocamento usamos portas de Fredkin para fazer SWAPs controlados nos qubits de  $f$ . Para multiplicar por  $2^2 = 4$  o circuito vai funcionar de maneira semelhante. Só que com um deslocamento de dois qubits.

```

1  hadamards=QuantumCircuit(7)
2  #Inicializa os qubits do registradores de L em superposicao
3  hadamards.h(4)
4  hadamards.h(5)
5  hadamards.h(6)
6  hadamards.x(0)#inicializa o registrador f em 1
7  hadamards.draw()
8  #####
9  #multiplica f por 2^1 mod 15
10 mult21=QuantumCircuit(7)
11
12 #fredkin controlado por q4(x0) em q2(f2) e q3(f3)
13 mult21.cx(2,3)
14 mult21.ccx(4,3,2)
15 mult21.cx(2,3)
16

```

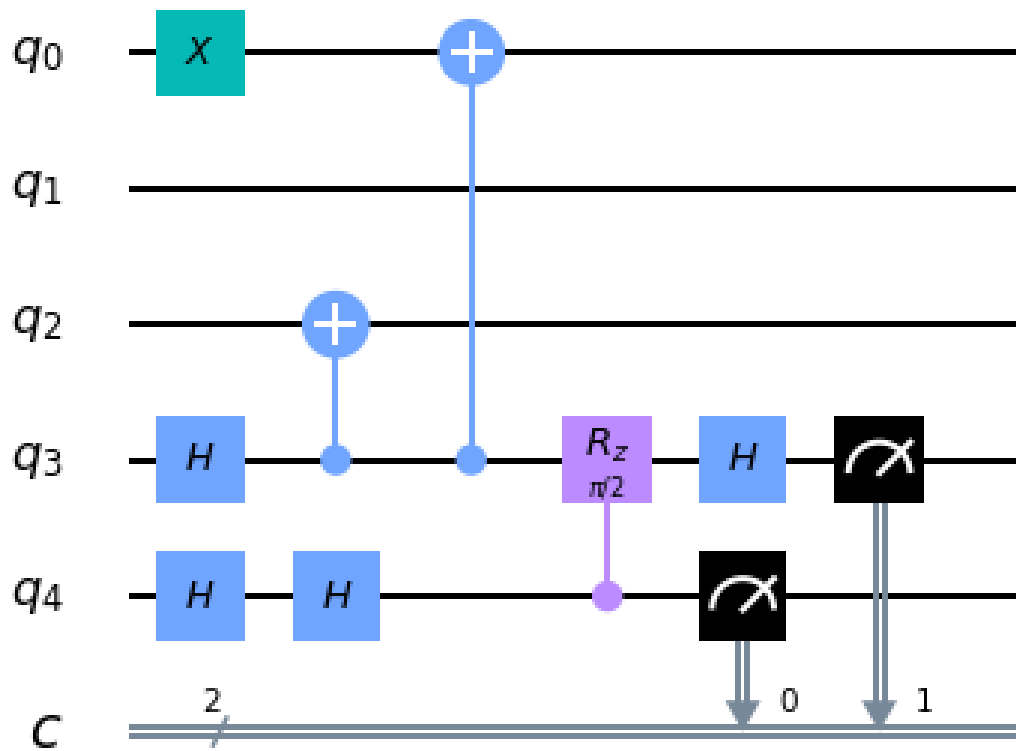


Figura 20: Circuito do Algoritmo de Shor com  $C=15$   $a=4$

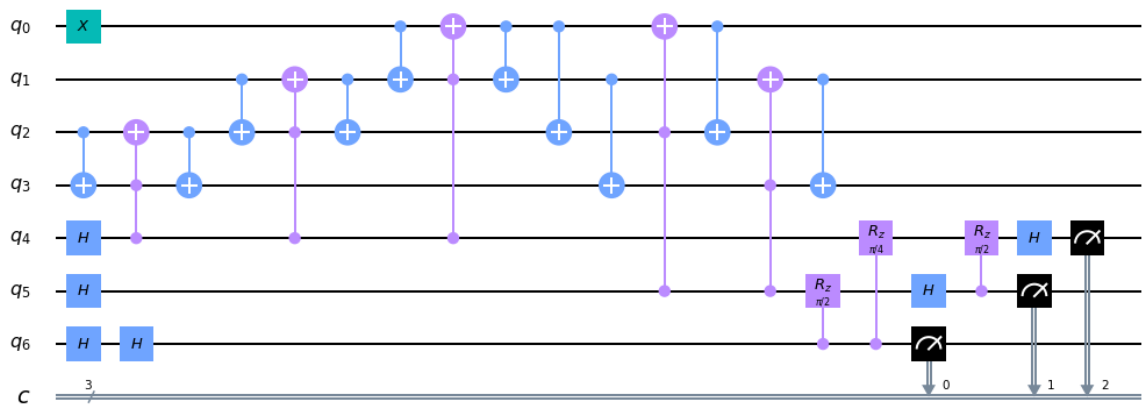


Figura 21: Circuito do Algoritmo de Shor com  $C=15$   $a=2$

```

17 mult21.cx (1,2)
18 mult21.ccx (4,2,1)
19 mult21.cx (1,2)
20
21 mult21.cx (0,1)
22 mult21.ccx (4,1,0)
23 mult21.cx (0,1)
24
25 mult21.draw()

```

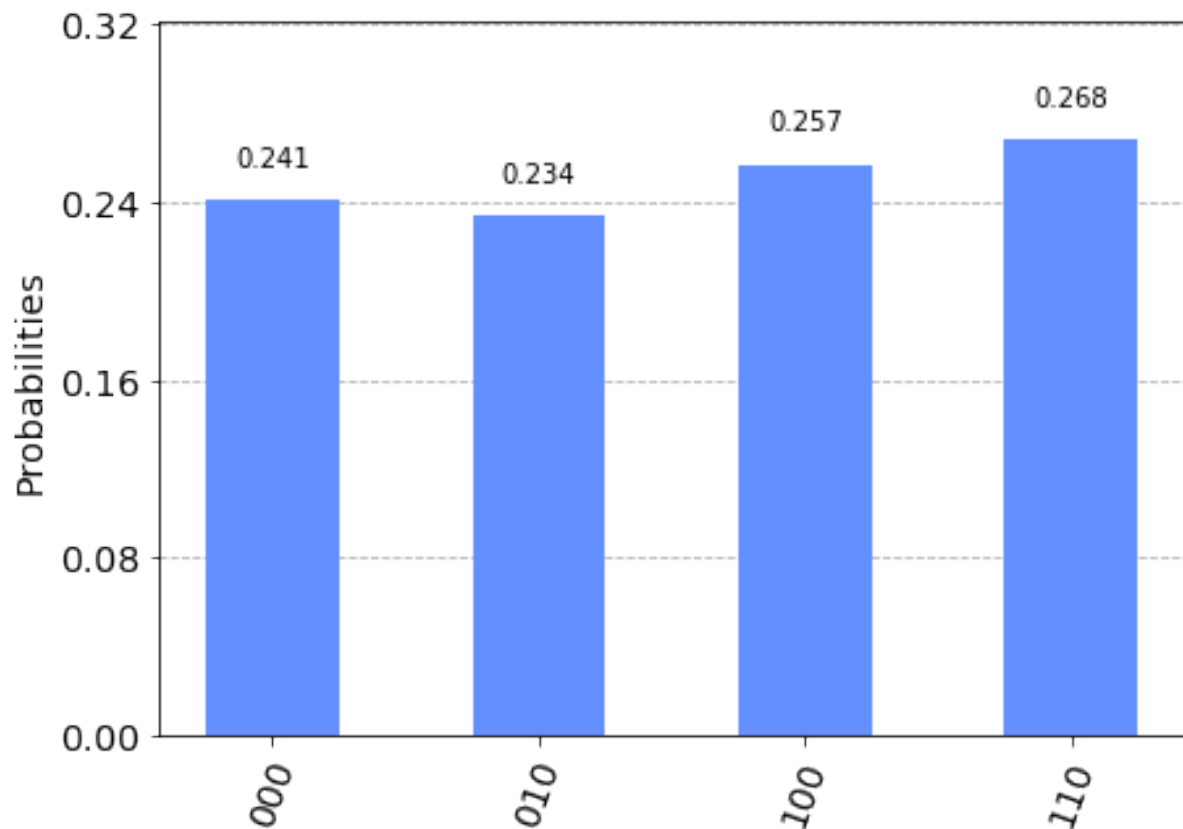


Figura 22: Resultado da simulação do Algoritmo de Shor com  $C=15$   $a=2$

```

26 #####
27 #multiplica f por 2^2 mod 15
28 mult22=QuantumCircuit(7)
29
30 #fredkin controlado por q5(x1) em q0(f0) e q2(f2)
31 mult22.cx (0,2)
32 mult22.ccx (5,2,0)
33 mult22.cx (0,2)
34
35 mult22.cx (1,3)
36 mult22.ccx (5,3,1)
37 mult22.cx (1,3)
38
39 mult22.draw()
40 #####
41 #IQFT em x
42
43 from math import pi
44 iqft=QuantumCircuit(7)
45 iqft.h(6)
46 iqft.crz(pi/2, 6, 5)
47 iqft.crz(pi/4, 6, 4)
48
49 iqft.h(5)
50 iqft.crz(pi/2,5, 4)
51

```

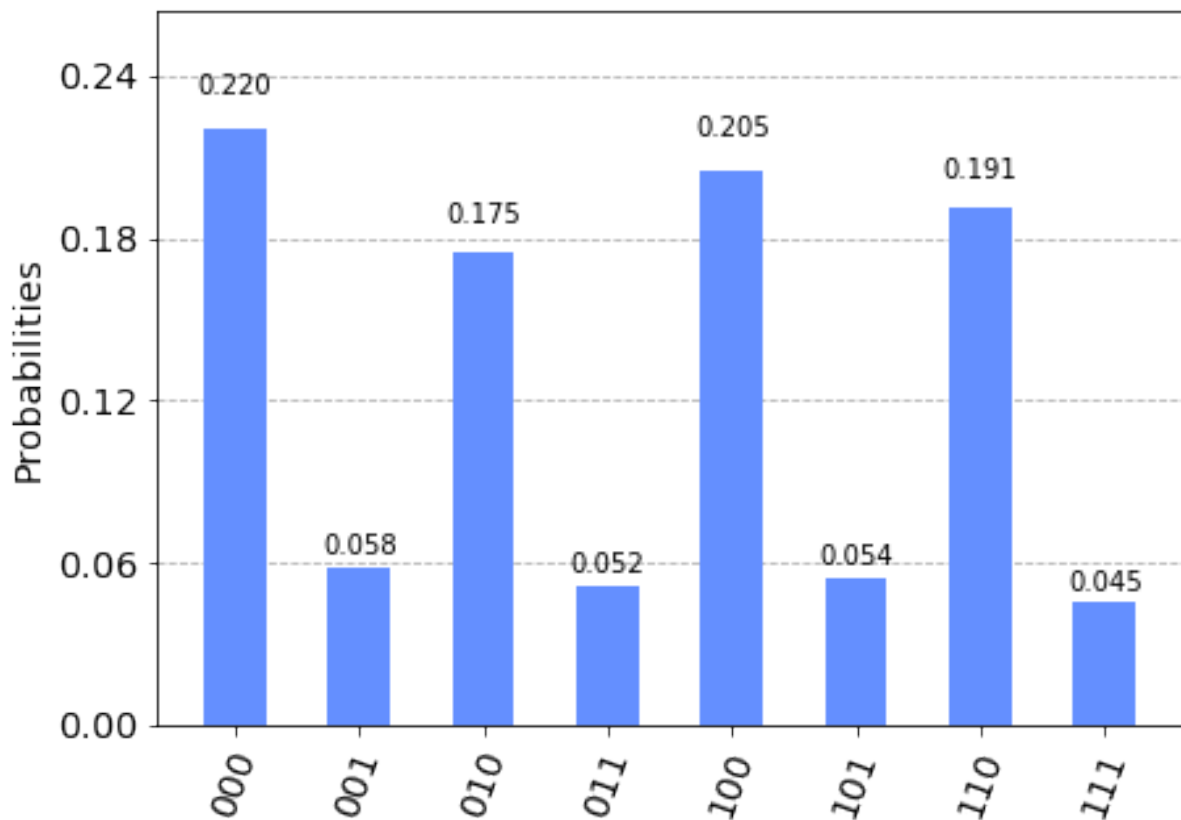


Figura 23: Resultado da execução do Algoritmo de Shor com  $C=15$   $a=2$  no **ibmq 16 melbourne**

```

52 iqft.h(4)
53 iqft.draw()
54
55 #####
56 #medida
57
58 mdir=QuantumCircuit(7,3)
59 shor=QuantumCircuit(5)
60 mdir.measure([4, 5, 6],[2,1,0]) #circuito para a medicao dos qubits(bits de medida ja r
61
62 #oraculo e o operador de difusao sao repetidos 2 vezes
63 shor=hadamards+mult21+mult22+iqft+mdir
64
65 shor.draw()

```

### 3 Conclusões

Ao longo da realização do projeto, tivemos contato com diversas áreas do conhecimento, relacionado principalmente com a computação quântica. Dentro da própria física, conceitos como a superposição quântica e fases da função de onda foram revisitados para melhor compreensão, como também um estudo aprofundado dos algoritmos de Groover de busca e Shor de fatoração de números inteiros. Desenvolvemos as implementações destes algoritmos em Python e fizemos simulações para diversas situações. Utilizando os computadores quânticos da IBM implementamos os algoritmos de Shor e Groover e comparamos os resultados com

nossa simulação clássica, obtendo resultados similares.

Em conclusão, desenvolvemos com sucesso todo o processo de implementação, simulação e análise de algoritmos quânticos, e fizemos um estudo de tópicos avançados de mecânica quântica com ênfase em computação quântica.

## Referências

- [1] Lov K. Grover. A fast quantum mechanical algorithm for database search. *Proceedings of the Annual ACM Symposium on Theory of Computing*, Part F1294:212–219, 5 1996. ISSN 07378017. doi: 10.1145/237814.237866. URL <http://arxiv.org/abs/quant-ph/9605043>.
- [2] Peter W. Shor. Polynomial-time algorithms for prime factorization and discrete logarithms on a quantum computer. *SIAM Journal on Computing*, 26(5):1484–1509, 10 1997. ISSN 00975397. doi: 10.1137/S0097539795293172. URL <https://epubs.siam.org/doi/10.1137/S0097539795293172>.
- [3] Guido Van Rossum and Fred L Drake. The Python Language Reference 2.6.2. page 109, 2011.
- [4] Thomas Kluyver, Benjamin Ragan-kelley, Fernando Pérez, Brian Granger, Matthias Bussonnier, Jonathan Frederic, Kyle Kelley, Jessica Hamrick, Jason Grout, Sylvain Corlay, Paul Ivanov, Damián Avila, Safia Abdalla, and Carol Willing. *Jupyter Notebooks—a publishing format for reproducible computational workflows*. 2016. ISBN 9781614996491. doi: 10.3233/978-1-61499-649-1-87. URL <https://www.medra.org/servlet/aliasResolver?alias=iospressISBN&isbn=978-1-61499-648-4&spage=87&doi=10.3233/978-1-61499-649-1-87>.
- [5] IBM. IBM Q Experience, 2019. URL <https://quantumexperience.ng.bluemix.net/qx/experience>.